

کنترل نقص روش رونگ_کوتا با استفاده از درونیابی

سید محمد حسینیⁱ؛ محبوبه صمصامیⁱⁱ

چکیده

جستجوی روشی معتبر برای حل مسائل مقدار اولیه از معادلات دیفرانسیل معمولی یکی از مسائل مهم و پرکاربرد در آنالیز عددی به شمار می‌رود. نداشتن روش، عاملی برای محدود شدن مسائل مقدار اولیه مرتبه یک می‌شود. هر معادله دیفرانسیل مرتبه m را به راحتی می‌توان به یک دستگاه معادلات مرتبه یک تبدیل نمود. روشی که در این مقاله برای حل اینگونه مسائل مورد تحلیل قرار می‌گیرد، روش رونگ_کوتا پیوسته می‌باشد، به طوری که تلفیق روش گسسته رونگ_کوتا همراه با درونیاب هرمیت بیرکف عامل نیل به جواب تقریبی پیوسته می‌باشد. همچنین استفاده از کنترل خطای نقص (defect) و اندکی تغییر در به کارگیری درونیاب‌ها، دستیابی به روشی که تقریباً مستقل از مسأله عمل می‌کند را آسان می‌نماید. همین امر این امکان را فراهم می‌سازد که مستقل از نوع معادله مورد بحث بتوان تخمین معتبر و موضعی از خطا را محاسبه نموده و از آن در تعیین طول گام متغیر در روش‌های تطبیقی (adaptive) استفاده نمود. تحلیل خطا در بخش نتایج عددی جزئیات بحث یاد شده را روشن می‌سازد.

کلمات کلیدی

مسئله مقدار اولیه، روش رونگ_کوتا، درونیاب هرمیت بیرکف، کنترل خطا، روش انطباقی

Defect Control for RK-methods using Computed Interpolation

S. M. Hosseini; M. Samsami

ABSTRACT

The quest for reliable integration of initial value problems (IVPs) for ordinary differential equations (ODEs) is an important and popular topic in numerical analysis. We limit ourselves to the first order initial value problems because we can change each m^{th} order differential equation to a system of first order differential equations. The class of methods we address in this paper is the class of continuous Runge-Kutta methods (CRKs), that combines discrete Runge-Kutta methods with Hermite-Birkhoff interpolation and gives us the continuous approximate solution. In this situation, by using the defect error to control error and some changes in the base of interpolations, we can derive a method that is almost independent of the problem integrated. This makes it possible for us to have an accurate and local estimation of the error independent of the equation, when we can further use it in determining variable step-size in adaptive methods. The error analysis in numerical results clarifies the details of this issue.

KEYWORDS

Initial value problems, Runge-Kutta methods, Hermite-Birkhoff interpolation, Defect Error Control, Adaptive Methods

ⁱ استاد بخش ریاضی، دانشکده علوم پایه، دانشگاه تربیت مدرس، کد پستی ۱۷۵-۱۴۱۱۵ : hossei_m@modares.ac.ir

ⁱⁱ کارشناسی ارشد، دانشکده علوم پایه، بخش ریاضی، دانشگاه تربیت مدرس: m0samsami@yahoo.com

روش استفاده می‌شود به طوری که روش s مرحله ای (stage) مرتبه p رونگ_کوتا دارای ساختار رابطه ۱ می‌باشد:

$$y_{n+1} = y_n + h \sum_{i=1}^s b_i f_i,$$

$$f_i = f(x_n + c_i h, y_n + h \sum_{j=1}^s a_{ij} f_j). \quad (1)$$

$$i = 1, 2, \dots$$

در رابطه ۱، ضرایب a_{ij}, b_i, c_i اعداد ثابتی هستند که با توجه به مرتبه روش و کارایی آن اختیار می‌شوند. بوچر (Butcher) و هیرر (Hairer) با توجه به ارتباط بین دیفرانسیل های مقدماتی و درخت های ریشه، روشی بسیار کارآمد و ساده برای بدست آوردن این ضرایب ارائه داده اند. حال اگر از روش رونگ_کوتا با طول گام ثابت (h) استفاده شود محاسبات بسیار عالی و سریع صورت می‌گیرد اما در کل روش های معتبری نخواهند بود، چون استفاده کننده از روش، باید اطلاعات و جزئیات زیادی از مسأله و روش بدست آورد تا به دقت مطلوب در جواب گسسته دست یابد. از طرفی این امکان وجود دارد که طول گام ثابت آنقدر کوچک اختیار شود که از سرعت همگرایی بکاهد و یا حتی طول گام ثابت طوری بزرگ اختیار شود که محاسبات غیر پایداری بدست آمده و نتیجه مطلوب بدست نیاید که برای رفع این مشکل پس از اینکه روش-های پویا مطرح شدند، در سال ۱۹۷۸ ایده استفاده از طول گام متغیر در روش های رونگ_کوتا به ذهن رسید. در این حالت باید در هر مرحله، تخمینی مجانبی و معتبر از خطا را بدست آورد و با توجه به کنترل آن، طول گام جدید را مشخص نمود.

اگر فرض شود $y_i(x)$ جواب دقیق موضعی معادله دیفرانسیل در گام i ام باشد یعنی:

$$y_i'(x) = f(x, y_i(x)) \quad y_i(x_i) = y_i \quad (2)$$

که y_i جواب تقریبی در گام i ام است، در آن صورت خطای موضعی (local) به فرم رابطه ۳ تعریف می‌گردد:

$$l_e = y_i(x_{i+1}) - y_{i+1} \quad (3)$$

از طرف دیگر اگر فرض شود $y(x)$ جواب واقعی مسأله مقدار اولیه باشد، خطای سراسری (global) مربوط به آن تا مرحله i ام هم به فرم رابطه ۴ نمایش داده می‌شود:

$$g_{e,i} = y(x_{i+1}) - y_{i+1} = y(x_{i+1}) - y_i(x_{i+1}) + l_e \quad (4)$$

حال با توجه به اینکه جواب دقیق در طول مسیر انتگرال گیری در دسترس نیست و همچنین از آنجا که طبق ارتباط نشان داده شده بین خطای موضعی و سراسری در رابطه (۴) کنترل خطای موضعی نیز موجب کنترل خطای سراسری خواهد شد، به کنترل خطای موضعی پرداخته می‌شود. در مورد

با توجه به پیشرفت ابزارهای محاسباتی و افزایش دقت در محاسبات، می‌توان استفاده از روش های گسسته سازی را در حل مسائل مقدار اولیه به فرم:

$$y' = f(x, y(x)), \quad y(x_0) = y_0.$$

بسیار موفق شمرد. در این میان استفاده از روش های رونگ_کوتای صریح بخصوص از مراتب همگرایی بالا مورد توجه قرار گرفته است. اما در بسیاری از کاربردها مانند اقتصاد، هواشناسی و مهندسی، یافتن یک تقریب پیوسته عددی مورد نیاز است. بدین منظور ایده استفاده از درونیایی روی مقادیر گسسته روش رونگ_کوتا برای اولین بار در سال ۱۹۸۶ توسط انرایت (Enright) مطرح شد و از آن به بعد گسترش روش های رونگ_کوتای پیوسته مورد توجه قرار گرفت. استفاده از درونیای های هرمیت و هرمیت بیرکف به صورت قطعه ای در هر زیر بازه روش رونگ_کوتا موجب می‌شود که تنها با اضافه کردن چند ارزیابی اضافی برای f به یک تقریب پیوسته و هم‌رتبه با مقادیر گسسته دست یافت که در بخش دوم به چگونگی روند این محاسبات پرداخته می‌شود. در بسیاری از روش ها کنترل خطا به یکی از دو طریق تغییر مرتبه و یا تغییر طول گام امکان پذیر است اما به سادگی می‌توان نشان داد که در بعضی مواقع این راهبرد فریب دهنده خواهد بود، پس به منظور رفع چنین مشکلی، کنترل خطای نقص در بخش سوم مطرح و بررسی می‌شود. از طرف دیگر در این بخش با اضافه کردن تغییرات پایانی در محاسبه درونیای، روشی که به میزان نزدیک مستقل از مسأله است پیدا می‌شود. برتری این استقلال نسبی در به کارگیری و کنترل خطای روش های انطباقی دیده می‌شود، (به طوری که روش مطرح شده در کل به صورت یک روش پویا و انطباقی بررسی می‌شود) که در کارآمد نمودن برنامه های موجود یاری می‌نماید، به طوری که هر کاربر بدون داشتن اطلاعات دقیق از مسأله و روش می‌تواند با انتخاب حداکثر کران خطا (tolerance) به حل مسأله خود بپردازد. تمامی نتایج عددی نشان داده شده در بخش چهارم با نرم افزار Matlab پیاده سازی شده اند.

۲- روش رونگ_کوتا

۲-۱- روش رونگ_کوتای گسسته

در این تحقیق از روش رونگ_کوتای صریح به عنوان پایه

استفاده از خانواده رونگ-کوتا، از یک جفت فرمول با دو مرتبه مختلف استفاده کرده و بدین وسیله خطای موضعی را تخمین می‌زنند. در این میان به منظور افزایش کارایی روش رونگ-کوتا، برای اولین بار مرسن (Merson) ایده استفاده روش های درهم نشانده شده (embedded) را مطرح کرد.

روش های درهم نشانده شده بر این اساس هستند که یک روش رونگ-کوتای مرتبه q را از روی یک روش رونگ-کوتای مرتبه p با فرض $q > p$ طوری استخراج می‌شوند که با استفاده از دو تقریب y_i (از مرتبه p) و \tilde{y}_i (از مرتبه q) برای جواب گام i ام، تخمینی موضعی از خطای فرمول مرتبه پایین حساب گردد. در بیشتر فرمول های متداول $q = p + 1$ می‌باشد. در این حالت بسیاری از ضرایب دو روش مشترک خواهد بود، در نتیجه برتری استفاده از فرمول های درهم نشانده شده این است که مشترک گرفتن f_i ها محاسبات را در هر گام کاهش داده و حتی ذخیره اطلاعات را نیز آسان می‌سازد. در ادامه از فرمول های درهم نشانده شده استفاده می‌شود.

همان طور که گفته شد، راه کلی روش های انطباقی این است که با یک طول گام اولیه شروع کرده، سپس در هر گام تخمین دقیقی از خطا (مانند Δ) را محاسبه نموده، سپس با توجه به p ، مرتبه روش s مرحله ای رونگ-کوتا و با توجه به دقت خواسته شده کاربر، h جدید را تخمین می‌زند:

$$h_{new} = h_{old} \left(v \frac{tol}{\Delta} \right)^{\frac{1}{p+1}} \quad (5)$$

v ضریب ثابتی است که همواره $0 < v < 1$ بوده و به منظور کاهش احتمال بازگشت h_{new} در نظر گرفته می‌شود.

طبق رابطه (5) دیده می‌شود که تعیین دقیق Δ در هر زیر بازه بسیار مهم است. در حالت گسسته از خطای موضعی ای که از فرمول های درهم نشانده شده بدست آورده می‌شود استفاده می‌شود اما وقتی از درونیاب استفاده می‌شود، کنترل خطا متفاوت خواهد بود که در حالت پیوسته، بیشتر به آن پرداخته می‌شود.

۲-۲- روش رونگ-کوتای پیوسته

با توجه به بخش قبل و طبق روش گسسته رونگ-کوتا می‌توان مقادیر تابع را در تعداد متناهی نقطه بدست آورد که استفاده از درونیابی روی مقادیر گسسته یکی از روش های موجود در بدست آوردن تقریب پیوسته است، اما از آنجا که محاسبه خطای سراسری برای درونیابی سراسری در انتهای

بازه انتگرال گیری چندان مطلوب نیست پس تلاش می‌شود از درونیاب های قطعه ای و کنترل خطای موضعی طوری استفاده گردد که در پایان یک توسیع پیوسته و از دسته $C^1[a,b]$ همراه با دقت مطلوب داشت. در طول این بخش فرض بر این است که از فرمول های درهم نشانده شده رونگ-کوتا از مرتبه $(p, p+1)$ استفاده می‌شود.

هدف، بدست آوردن یک روند کلی برای ساختن دنباله ای از چندجمله های هموار و از مرتبه p و $p+1$ مانند z_n^p و z_n^{p+1} در گام n ام است که مقادیر y_n در x_n و همچنین y_{n+1} در x_{n+1} را درونیابی کنند و تقریبی برای $y_n(x)$ در طول بازه $[x_n, x_{n+1}]$ باشند. در نتیجه، این دنباله از درونیاب های قطعه ای و مشتق پذیر یک تقریب پیوسته در کل بازه $[a, b]$ را تشکیل می‌دهند.

۲-۲-۱- الگوریتم یافتن درونیاب

گام اول: در آغاز تنها از مقادیر y_n و y_{n+1} و همچنین f_1, f_2, \dots, f_{n+1} استفاده می‌گردد تا یک درونیاب مانند u_0 از بالاترین مرتبه ممکن مثلاً q بدست آورد. (f_1^{n+1} همان مقدار $f(x_{n+1}, y_{n+1})$ است) البته می‌توان از مقادیر اضافی y در نقاط میانی بازه $[x_n, x_{n+1}]$ که از ترکیب خطی اطلاعات موجود بدست می‌آیند هم، استفاده کرد. با وجود اینکه می‌توان از درونیاب های مختلف استفاده کرد، اما چون از چندجمله ای هرمیت مکعبی \mathcal{H} که در شرایط

$$\begin{aligned} \mathcal{H}(x_n) &= y_n & \mathcal{H}(x_{n+1}) &= y_{n+1}, \\ \mathcal{H}'(x_n) &= f_1 & \mathcal{H}'(x_{n+1}) &= f_1^{n+1}. \end{aligned} \quad (6)$$

صدق می‌کند برای آغاز کار استفاده می‌شوند پس $q = \min(3, p+1)$ خواهد بود. اگر $q = p+1$ آنگاه کار تمام شده است و می‌توان هر دو z_n^p و z_n^{p+1} را برابر با u_0 در نظر گرفت. اگر $p = q$ آنگاه $z_n^p := u_0$ و به گام سوم رفته، در غیر این صورت به گام دوم بازگشت داده می‌شود.

گام دوم: برای $i = 1, \dots, p-q$ مقادیر $\tau_{ij} \in (0,1)$ را به ازای $j = 1, \dots, q+i-4$ طوری انتخاب می‌شود که چندجمله ای منحصر بفرد u_i از درجه $q+i-1$ وجود داشته باشد و در شرایط درونیابی هرمیت بیرکف، طبق رابطه v صدق کند:

$$\begin{aligned} u_i(x_n) &= y_n & u_i(x_{n+1}) &= y_{n+1}, \\ u_i'(x_n) &= f_1 & u_i'(x_{n+1}) &= f_1^{n+1}, \\ u_i'(x_n + \tau_{ij}h_n) &= f_{ij} = f(x_n + \tau_{ij}h_n, u_{i-1}(x_n + \tau_{ij}h_n)). \end{aligned} \quad (7)$$

می‌توان با استقراء روی i نشان داد که u_i تقریبی از مرتبه $q+i$ برای $y_n(x)$ خواهد بود. بنابراین قرار داده می‌شود $z_n^p := u_{p-q}$ و پس از تعیین z_n^p به گام سوم برگشت داده می‌شود.

گام سوم: اگر $p = q$ با u_0 از گام اول و یا اگر $p > q$ باشد با u_{p-q} که از گام دوم بدست آمده است، گام سوم آغاز می‌گردد. حال نقاط τ_{p-q+j} را به ازای $j = 1, \dots, p-3$ انتخاب کرده و تنها یکبار قسمت دوم الگوریتم تکرار می‌شود تا به چندجمله ای هرمیت بیرکف u_{p-q+1} و از درجه p که مقدار $y_n(x)$ را در طول بازه $[x_n, x_{n+1}]$ تا مرتبه $p+1$ تقریب می‌زند رسید. در پایان قرار داده می‌شود $z_n^{p+1} := u_{p-q+1}$. طبق الگوریتم روشن است که با توجه به اینکه در تشکیل درونیاب هرمیت و هرمیت بیرکف از مقادیر مشتق در نقاط ابتدایی و انتهایی هر زیر بازه استفاده می‌شود، در کل درونیاب بدست آمده که حاصل از ترکیب تمام قطعه درونیاب هاست، از دسته $C^1[a, b]$ می‌باشد. حال اگر فرم لاگرانژ درونیاب های عنوان شده بیان شود، به ازای درونیاب مرتبه p :

$$u(x_n + \tau h_n) = y_n + h_n \sum_{j=1}^{\bar{s}} b_j(\tau) f_j \quad (8)$$

که در واقع $\bar{s} - s$ تعداد ارزیابی های اضافی f (اضافه بر حالت گسسته) به منظور افزایش مرتبه درونیابی است و همچنین b_j ها نیز چند جمله ای های به فرم:

$$b_j(\tau) = \sum_{k=1}^{p+1} \beta_{jk} \tau^k, \quad \tau \in [0, 1]. \quad (9)$$

می‌باشند. گفتنی است که وقتی درونیاب u از مرتبه p را در نظر بگیرد، ضرایب $\beta_{j,p+1}$ صفر هستند و به ازای \bar{u} (درونیاب مرتبه $p+1$) لزوماً صفر نخواهند بود.

اگر چه درجه چندجمله ای های u و \bar{u} به انتخاب $\{\tau_{ij}\}$ ها بستگی ندارد، اما با توجه به اندازه جمله اصلی خطا در هر دو درونیاب دیده می‌شود که اندازه خطا، معمولاً به چگونگی انتخاب این پارامترها بستگی دارد. پس باید آنها را به گونه ای اختیار کرد که هر دو جملات اصلی خطای موضعی در مورد مرتبه های p و $p+1$ در کنار هم بهترین نتیجه (کمترین خطای ممکن) را داشته باشند. بعد از بررسی چگونگی انتخاب $\{\tau_{ij}\}$ ها به دنبال معیاری برای تخمین هرچه دقیق تر خطای موضعی به ازای تقریب پیوسته بوده تا از آن به عنوان (Δ) در محاسبه h متغیر استفاده شود. همین امر موضوع بخش بعد را

تشکیل می‌دهد.

۳- کنترل خطای defect و بهتر کردن تقریب درونیاب

وقتی از تقریب پیوسته در هر زیر بازه استفاده می‌شود دیگر نمی‌توان از راه قبلی به کنترل خطای موضعی پرداخت، پس به کنترل مستقیم و دقیق خطای نقص (defect) پرداخته می‌شود. تابع خطای نقص $(\delta(t))$ به ازای هر تقریب پیوسته $\bar{y}(x)$ به فرم رابطه ۱۰ تعریف می‌شود:

$$\delta(x) = \bar{y}'(x) - f(x, \bar{y}(x)) \quad (10)$$

که در آن $\delta(x)$ تابعی با بعد n و هم بعد با f می‌باشد. ایده استفاده از خطای نقص به منظور کنترل خطا اولین بار در سال ۱۹۸۹ پیشنهاد شد. در حالت کلی $\delta(x)$ تابعی پیچیده از مسأله و الگوریتم عددی می‌باشد و نیز محاسبه ماکسیم مقدار آن به عنوان معیاری از خطای موضعی، در طول یک گام نوعی سخت و پر هزینه است. به منظور رفع این مشکل، انرایت در مقاله دوم خود در سال ۱۹۸۹ پیشنهاد کرد که برآورد خطا فقط در یک نقطه خاص مانند τ^* محاسبه گردد. با این ایده، هزینه محاسبه خطا به طور قابل توجهی کاهش می‌یابد، اما انتخاب چنین نقطه ای که بتواند برآورد دقیقی از ماکسیم خطا را در یک طول گام نوعی نشان دهد، مدتها مورد توجه بوده است و حتی هنوز هم مورد توجه می‌باشد. می‌توان نشان داد که فرم بسته خطای نقص به ازای هر تقریب پیوسته مرتبه p و هر $x \in [x_n, x_n + h_n]$ و هر $\tau \in [0, 1]$ به طوری که $\tau = \frac{x - x_n}{h_n}$ رابطه ۱۱ صدق می‌کند:

$$\delta(x) = G(\tau) h_n^p + O(h_n^{p+1}), \quad (11)$$

که در آن:

$$G(\tau) = r_1(\tau) F_1 + \dots + r_k(\tau) F_k.$$

هر $r_j(\tau)$ چند جمله ای از درجه حداکثر $p+1$ است که فقط به روش بستگی دارد و هر F_j دیفرانسیل مقدماتی است که به هر دوی روش و مسأله بستگی دارد.

چون چند جمله ای $G(\tau)$ به ازای گام های مختلف، مسائل و روش های مختلف متفاوت است، انتخاب نقطه ای مانند τ^* به عنوان یک نقطه ثابت که در آن ماکسیم خطا اتفاق می‌افتد کار ساده ای نیست. البته بهتر است τ^* به گونه ای اختیار شود که اثر هر یک از دیفرانسیل های مقدماتی از بین نرود و نیز هیچ کدام از $\|r_j(\tau^*)\|$ ها به طور نسبی از ماکسیم مقدار خود زیاد

$\tau \in [0,1]$ ماکسیمم می‌شود. به این ترتیب تنها با گذاشتن یک محدودیت کوچک در اندازه ماکسیمم h_n می‌توان به کراندار بودن خطا در طول بازه انتگرال گیری مطمئن بود.

۴- نتایج عددی

در این بخش به پیاده سازی مطالب عنوان شده پرداخته می‌شود. وقتی از کنترل خطای نقص و درونیاب اصلاح شده استفاده می‌گردد، دیگر گفته نمی‌شود روش مرتبه (۴,۵) و (۵,۶) و (۷,۸)، زیرا هیچ گاه از فرمول مرتبه پایین برای تخمین استفاده نمی‌شود. در واقع سه روش از مرتبه ۵ و ۶ و ۸ بررسی می‌گردد. به منظور بررسی درستی هر کدام از روش ها می‌توان از ۲۵ مثال موجود در مقاله [۷] استفاده کرد، اما در این تحقیق، از مسائل مقدار اولیه یک بعدی استفاده می‌گردد، چراکه هر کدام دارای جواب دقیق به فرم بسته می‌باشند که محاسبه و مقایسه خطا را آسان می‌سازد:

$$A2: y' = -\frac{y^3}{2} \quad y(0) = 1,$$

$$A3: y' = (\cos x)y \quad y(0) = 1,$$

$$A4: y' = \frac{y}{4} \left(1 - \frac{y}{20}\right) \quad y(0) = 1,$$

و همچنین از بین مسائل آریت، از مسأله چهارتایی کیلر که در کاربرد بیشتر دیده می‌شود، در پیاده سازی ها استفاده می‌شود:

$$DB: y' = [y_3, y_4, \frac{-y_3}{r^3}, \frac{-y_2}{r^3}] \quad r = \sqrt{y_1^2 + y_2^2},$$

$$y(0) = [1 - \varepsilon, 0, 0, \sqrt{\frac{1+\varepsilon}{1-\varepsilon}}] \quad \varepsilon = 0.5.$$

با افزودن مسئله غیر خطی به فرم:

$$NL: y' = \frac{1 - y \sin(xy)}{1 + x \sin(xy)}, \quad y(0) = 0,$$

به مجموعه مسائل مورد بررسی، کارائی الگوریتم تخمین خطا برای یک مسئله به نسبت پیچیده تر نشان داده می‌شود. در کلیه مسائل یاد شده، سمت راست معادله تابعی لیبشیتز نسبت به متغیر y است و این تنها شرط لازم برای درستی الگوریتم گفته شده می‌باشد.

در ادامه در هر یک از روش ها و مثال های یاد شده اثر چند تغییر را بررسی و همگی در جدول شماره ۱ خلاصه شده‌اند:

فاصله نگیرند. با توجه به تحلیل بیشتر در نتایج عددی دیده می‌شود که هنوز انتخاب τ^* با این روش هم نتیجه مطلوب را به ازای برخی مسائل نخواهد داد و بعضی مواقع میزان خطای واقعی بیشتر از آن است که از محاسبه خطا در نقطه τ^* بدست می‌آید. اما می‌توان با اندکی تغییر در چگونگی محاسبه درونیاب، تابع $\delta(x)$ را طوری بدست آورد که به ازای تمامی مسائل به وسیله مضرب کوچکی از حداکثر کران خطا، کراندار شود و مقدار آن تنها وابسته به روش باشد و تا اندازه ای مستقل از مسأله آغازین گردد. پس به دنبال چنین پیشنهادی، خواهان بهتر کردن درونیابیم.

۳-۱- دقیق تر کردن درونیاب

به منظور رفع مشکل موجود در اندازه گیری ماکسیمم خطا و انتخاب τ^* مناسب و حتی دقیق تر کردن تقریب پیوسته، کافی است یک مرحله به الگوریتم قبل اضافه کنید و گام چهارم را در نظر بگیرید:

گام چهارم: پس از اینکه در هر گام، درونیاب بهینه $\tilde{u}(x)$ را که از مرتبه $p+1$ بوده و دارای خطای نقص مرتبه p است بدست آوردید، می‌توان آن را با درونیاب جدید $V(x)$ (البته با صرف کمی هزینه محاسباتی بیشتر) اصلاح کرد. روند این اصلاح به این صورت است که در گام چهارم تعدادی از f_j ها را با \tilde{f}_j ها که به فرم:

$$\tilde{f}_j = f(x_n + \tau_j h_n, \tilde{u}(x_n + \tau_j h_n))$$

نشان داده می‌شوند، جایگزین گردد.

در این حالت خطای نقص از همان مرتبه $O(h^p)$ خواهد بود اما شکل آن به سمت مضربی از چند جمله ای ثابت میل می‌کند. در واقع درونیاب اصلاح شده جزء دسته خاصی از مقادیر تقریبی است که به ازای آنها رابطه ۱۲ بدست می‌آید:

$$\delta(x) = r_1(\tau) F_1 h_n^p + O(h_n^{p+1}) \quad (12)$$

در حالی که $F_1 h_n^p$ همان جمله اصلی در بسط خطای موضعی روش گسسته محاسبه شده در نقطه x_{n+1} می‌باشد. همین امر ارتباط مجانبی و مستقیم بین خطای موضعی روش گسسته و خطای نقص روش تقریبی پیوسته را مشخص می‌سازد. از طرف دیگر وقتی از درونیاب اصلاح شده استفاده می‌شود، چون $r_1(\tau)$ مستقل از مسأله است، وقتی $h_n \rightarrow 0$ میل می‌کند شکل $\delta(x)$ که بوسیله چند جمله ای ثابت r_1 تعیین می‌شود، مستقل از مسأله و موقعیت گام روش گسسته می‌گردد، پس کافی است τ^* را همان مکانی قرار داد که $\|r_1(\tau)\|$ به ازای

جدول (۱): نمادگذاری نمودارها

Bb	محاسبه مقدار دقیق $b_j(\tau)$ ها و مشتقاتشان در نقطه $\tau = \tau^*$ ؟ بلی= B و گرنه= b
Ss	ارزیابی خطا تنها در τ^* [S] و یا ماکسیمم گیری روی $\tau \in [0,1]$ [s]
Qq	استفاده از دقت QUAD در محاسبه ضرایب درونیاب و مشتقاتش؟ بلی= Q و گرنه= q

نمودار سمت راست به ازای درونیاب $u(x)$ و سمت چپ به ازای درونیاب $\tilde{u}(x)$ است. اگر خوب دقت کنید میزان ماکسیمم خطا، به ازای هر چهار مثال و هر دو درونیاب در مکان های مختلفی صورت می گیرد و حتی در چند نقطه، بیشتر از خطا در نقطه τ^* می باشد. اما اگر به رفتار خطا در نمودار پایینی که مربوط به درونیاب اصلاح شده $V(x)$ است دقت کنید در کل طول گام، خطای هر چهار مثال مشابه و حتی ماکسیمم آن، نزدیک به نقطه τ^* است.

در روش گسسته (۴,۵) از ضرایب جدول درموند (Dormand) و پرنیس (Prince) استفاده می شود که برای روش مرتبه ۴، یک روش ۶ مرحله ای است و برای مرتبه ۵، یک روش ۷ مرحله ای می باشد. چندجمله ای درونیاب (غیر بهینه) استاندارد $u(x)$ از مرتبه $O(h^5)$ همراه با خطای نقص $O(h^4)$ به فرم (۸) است. با توجه به اینکه در ابتدا فقط مقادیر تابع و مشتق آن را به ازای $\tau = 0,1$ داشته، پس طبق روشی که هرن (Horn) ارائه کرده از مقدار تابع در نقطه $\tau = 0.6$ به عنوان شرط پنجم درونیابی استفاده می شود. زیرا این نقطه تنها نقطه ای است که مقدارش با توجه به اطلاعات قبلی (روش گسسته) بدست می آید:

$$y_{n+6} = y_n + h_n \left\{ \frac{1559}{12500} f_1 + \frac{153856}{296875} f_2 + \frac{68107}{2612500} f_4 + \frac{243}{31250} f_5 - \frac{2106}{34375} f_6 \right\}$$

حال برای رسیدن به درونیاب $\tilde{u}(x)$ از مرتبه $O(h^6)$ همراه با خطای نقص $O(h^5)$ دو مرحله رابطه ۱۳ اضافه می گردد:

$$f_8 = f(x_n + .86h_n, u(x_n + .86h_n)), \quad (13)$$

$$f_9 = f(x_n + .93h_n, u(x_n + .93h_n)).$$

در آن صورت درونیاب $\tilde{u}(x)$ ۹ مرحله دارد. در نهایت برای رسیدن به درونیاب اصلاح شده $V(x)$ طبق گام چهارم f_8, f_9 به فرم رابطه ۱۴ اصلاح می گردد:

$$\tilde{f}_8 = f(x_n + .86h_n, \tilde{u}(x_n + .86h_n)), \quad (14)$$

$$\tilde{f}_9 = f(x_n + .93h_n, \tilde{u}(x_n + .93h_n)).$$

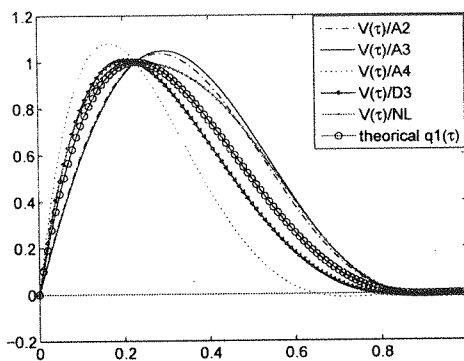
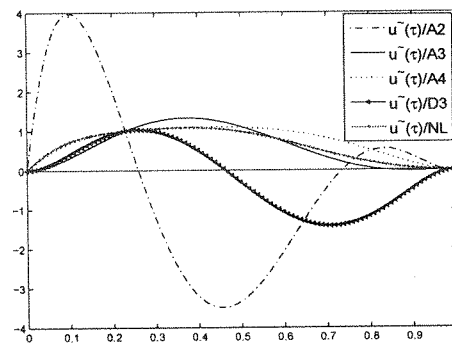
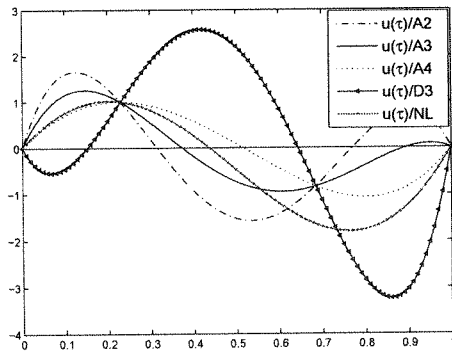
و بدست می آید:

$$V(x_n + th_n) = y_n + h_n \sum_{j=1}^9 b_j(\tau) \tilde{f}_j$$

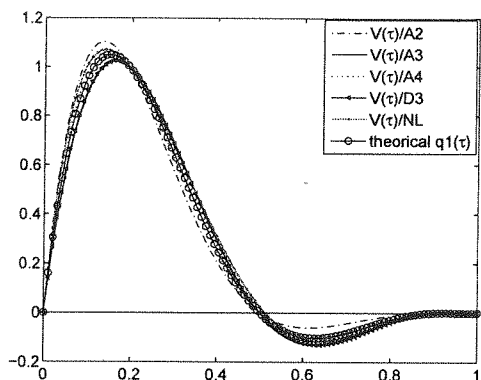
اگر $r_1(\tau)$ برای $\delta(x)$ بدست آید چندجمله ای زیر حاصل می گردد

$$r_1(\tau) = \frac{1875}{64} \tau^4 - \frac{20925}{256} \tau^3 + \frac{38847}{512} \tau^2 - \frac{11997}{512} \tau$$

که ماکسیمم آن در بازه $[0,1]$ همان $\tau^* = 0.23$ است. در شکل ۱ خطای نقص که به صورت نرمال شده می باشد در فاصله یک طول گام دلخواه نشان داده شده است. البته برای اینکه بتوان خطای هر چهار مثال را روی یک محور کشیده و با هم مقایسه کرد، میزان خطا را در طول $\tau \in [0,1]$ بر میزان خطای نقطه $\tau^* = 0.23$ تقسیم کرده تا منحنی، نرمال شده گردد.



شکل (۱): خطای نقص نرمال شده در طول یک گام دلخواه، به ازای هر پنج مثال و هر سه درونیاب در روش های مرتبه ۴ و ۵

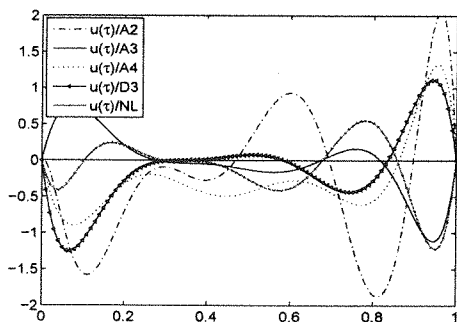


شکل (۲): خطای نقص نرمال شده در طول یک گام دلخواه، به ازای هر پنج مثال و هر سه درونیاب در روش های مرتبه ۵ و ۶ نکته دیگر اینکه $\tau^* = 0.15$ می باشد.

یکی از مزایای مهم روش ارائه شده در این مقاله این است که نتایج برای روش های با مراتب بالا هم مشابه و قابل پذیرش است، به طوری که درونیابی هم‌رتبه با حالت گسسته بدست می آید. در روش گسسته (۸.۷) از ضرایب بدست آمده توسط ورنر (CVSS8) استفاده می شود. این روش در هر گام ۱۳ مرحله دارد و روند کار مشابه قبل است اما نقاط بازبینی در این درونیاب، نقاط میانی

$$\tau = \frac{103}{1000}, \frac{41}{125}, \frac{41}{100}, \frac{313}{1000}, \frac{681}{1000}$$

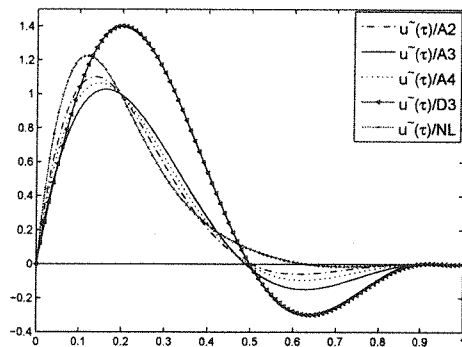
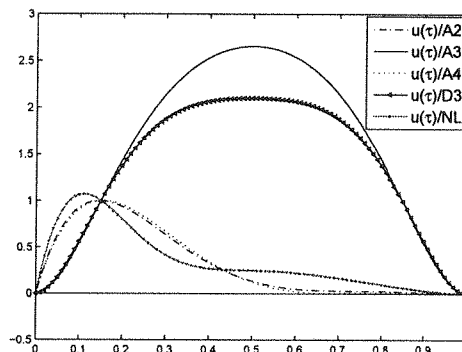
می باشند و طرف دیگر $\tau^* = 0.92$ بدست آمده است. شایان گفتن است که در روش مرتبه ۸ به دلیل بزرگ بودن ضرایب بدست آمده، اثر خطای roundoff در نتایج دیده می شود.



در حالت بعدی جدول ضرایب روش گسسته (۶.۵) که توسط انزایت با نام CRK6N استفاده شده است، به کار گرفته می شود. این روش در مرتبه پایین ۸ مرحله دارد و به ازای مرتبه ۶ دارای ۹ مرحله است. در ابتدا برای رسیدن به درونیاب $u(x)$ $O(h^6)$ علاوه بر f_1, f_8, \dots, f_1 به دو داده دیگر نیاز است. با همان استدلال قبل از f از y در نقطه $\tau = 0.5$ استفاده می شود. پس از آن محاسبه f_{11}, f_{12} در نقاط میانی

$$\begin{aligned} f_{11} &= f(x_n + .9h_n, u(x_n + .9h_n)), \\ f_{12} &= f(x_n + .95h_n, u(x_n + .95h_n)). \end{aligned} \quad (15)$$

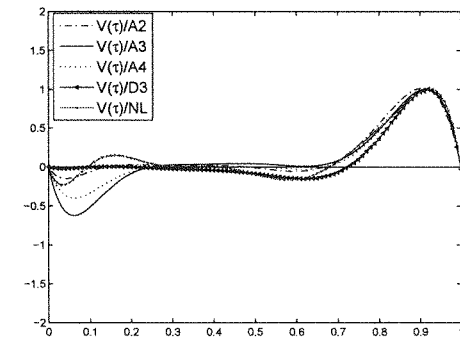
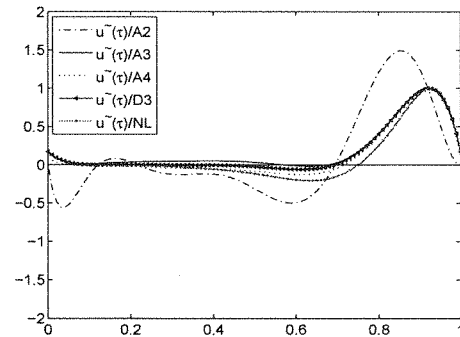
درونیاب $\tilde{u}(x)$ از مرتبه $O(h^7)$ را نتیجه می دهد. درونیاب $V(x)$ نیز با تکرار $\tilde{f}_{10}, \tilde{f}_{11}, \tilde{f}_{12}$ در گام آخر درونیابی حاصل می شود. نمودارهای موجود در شکل (۲) طبق شکل قبلی بیان شده اند که دیده می شود به ازای درونیاب $u(x)$ رفتار خطا در مثال های مختلف متفاوت است اما در درونیاب مرتبه بالاتر، $(\tilde{u}(x))$ رفتار خطا به ازای برخی از مثال ها مشابه شده است و حتی در نمودار چندجمله ای $V(x)$ رفتار خطا به ازای هر چهار مثال نزدیک به هم و مشابه اند.



بررسی نمودارها نیز همانطور که پیشتر تحلیل شده بود، این اجازه را می‌دهد که تخمین معتبری از ماکسیمم خطای نقص را تنها با یک ارزیابی f در τ^* بدست آوریم و از آن در تعیین طول گام جدید روش انطباقی بهره گرفت. در انتها، گفتن این نکته ضروری است که طبق بررسی‌های انجام شده با کنترل خطای نقص، خطای موضعی هم کنترل شده و کراندار می‌ماند.

۵- نتیجه

در این مقاله، یک تقریب پیوسته به منظور حل مسائل مقدار اولیه، همراه با کنترل خطای نقص ارائه شد که خطای آن تا اندازه‌ای مستقل از مساله عمل می‌کند. همین برتری باعث می‌شود که هزینه محاسبه روش کاهش یابد و از طرفی با تطبیق آن با روش انطباقی به الگوریتمی کارا تر رسید که هر کابر تنها با انتخاب کران خطا، قادر به حل مساله خود با دقت و مرتبه خواسته شده باشد.



شکل (۳): خطای نقص نرمال شده در طول یک گام دلخواه، به ازای هر پنج مثال و هر سه درونیاب در روش‌های مرتبه ۷ و ۸

۶- مراجع

- [۵] Enright, W. H.; "Analysis of error control strategies for continuous Runge-Kutta methods", SIAM J. Numer. Anal., vol. 26, p.p. 588-599, 1989.
- [۶] Enright, W. H.; "A new error-control for initial value solvers", J. Appl. Math. Comp., vol. 31, p.p. 288-301, 1989.
- [۷] Enright, W. H.; Pryce, J. D.; "Two FORTRAN packages for assessing initial value methods", ACM Trans. Math. Soft., vol. 13, p.p. 1-27, 1987.
- [۱] Butcher, J. C.; Numerical Methods for Ordinary Differential Equations, John Wiley & Sons, 2003.
- [۲] Dormand, J. R.; Prince, P. J.; "A family of embedded Runge-Kutta formulas", J. Comput. Appl. Math., vol. 6, p.p. 19-26, 1980.
- [۳] Enright, W. H.; Jackson, K. J.; Norsett, S. P.; Thomsen, P. G.; "Interpolation for Runge-Kutta formulas", ACM Trans. Math. Soft., vol. 12, p.p. 193-218, 1986.
- [۴] Enright, W. H.; Hayes, W. B.; "Robust defect control for RK-methods using efficiently computed optimal-order interpolants", University of Toronto, Preprint, p.p. 1-18, 2005.